

УДК 548.4 : 539.1.04

**МОРФОЛОГИЧЕСКАЯ УСТОЙЧИВОСТЬ
ВКЛЮЧЕНИЙ НОВОЙ ФАЗЫ
В ПЕРЕСЫЩЕННОМ ТВЕРДОМ РАСТВОРЕ**

A. С. Абызов, В. В. Слезов, Л. В. Танатаров

Рассмотрена эволюция формы растущего включения новой фазы в пересыщенном твердом растворе атомов примеси (из которых состоит включение) при произвольном распределении их концентраций. Проведен линейный и нелинейный анализ морфологической устойчивости включений.

Впервые задача о морфологической устойчивости сферических включений новой фазы, растущих в пересыщенном твердом растворе, была поставлена и решена в работе [1]. Наиболее важным ее результатом оказался вывод о неустойчивости формы растущего включения по достижении им определенного предельного размера. Форма его описывалась набором размерных параметров, описывающих отклонение от сферичности; задача решалась в линейном приближении по этим параметрам. При этом не рассматривались ни поверхностная диффузия, ни граничная кинетика. Эти факторы были учтены в работе [2], где была также показана связь задачи о морфологической устойчивости с задачей об определении скорости движения включения как целого. Данная работа является естественным продолжением работы [2].

**1. Постановка задачи и вывод
основных уравнений**

Допустим, что концентрация примесных атомов в пересыщенном твердом растворе в изотропной матрице не является пространственно-однородной. В этом случае геометрия включений даже в изотропном материале должна отражать эту неоднородность. Если размеры включений малы по сравнению с масштабом указанной неоднородности, можно считать «внешнее» поле концентраций (т. е. то, которое было бы на месте включения в его отсутствие) зависящим только от одной переменной — координаты z , направленной в сторону градиента этого поля. Истинное поле концентрации вблизи включения, определяющее его рост и форму, должно обладать аксиальной симметрией относительно оси, параллельной этому градиенту. То же можно сказать и о форме включения, если его материал изотропен.

Пусть \mathbf{r}_s — радиус-вектор некоторой точки поверхности включения (или поры, если идет речь о растворе вакансий), \mathbf{r}_c — радиус-вектор его (ее) центра тяжести. Поскольку рост включения происходит по нормали \mathbf{n} к его поверхности, можно записать $\mathbf{r}_s = \mathbf{v}_s \mathbf{n}$. Как известно [3], направление движения центра тяжести включения совпадает с направлением градиента «внешней» концентрации. Пусть \mathbf{k} — орт этого направления. Можно записать $\mathbf{r}_c = \mathbf{v}_c \mathbf{k}$. Введем обозначения $r(\vartheta) = |\mathbf{r}_s - \mathbf{r}_c|$, $\mathbf{r}_s - \mathbf{r}_c = m \mathbf{r}(\vartheta)$, где ϑ — угол между ортами \mathbf{k} и $\mathbf{m} = (\mathbf{r}_s - \mathbf{r}_c)/|\mathbf{r}_s - \mathbf{r}_c|$. С одной стороны, $\dot{\mathbf{r}}_s - \dot{\mathbf{r}}_c = \mathbf{v}_s \mathbf{n} - \mathbf{v}_c \mathbf{k}$, с другой стороны, $\dot{\mathbf{r}}_s - \dot{\mathbf{r}}_c = \dot{r}(\vartheta) \mathbf{m} + r(\vartheta) \dot{\mathbf{m}}$, откуда

$\dot{r}(\vartheta) \mathbf{m} + r(\vartheta) \dot{\mathbf{m}} = v_s \mathbf{n} - v_c \mathbf{k}$. Умножая обе части на \mathbf{m} и учитывая, что $\mathbf{m} \perp \dot{\mathbf{m}}$ и $\mathbf{k} \cdot \mathbf{m} = \cos \vartheta$, получаем $\dot{r}(\vartheta) = v_s (\mathbf{m} \cdot \mathbf{n}) - v_c \cos \vartheta$. По определению,

$$\mathbf{n} = [\partial(\mathbf{r}_s - \mathbf{r}_c)/\partial\vartheta; \partial(\mathbf{r}_s - \mathbf{r}_c)/\partial\varphi]/(|\partial(\mathbf{r}_s - \mathbf{r}_c)/\partial\vartheta| \cdot |\partial(\mathbf{r}_s - \mathbf{r}_c)/\partial\varphi|).$$

Здесь φ — азимутальный угол сферической системы координат с началом в точке \mathbf{r}_c . Если обозначить координатные орты этой системы через \mathbf{I}_r , \mathbf{I}_ϑ , \mathbf{I}_φ , то можно записать $\partial(\mathbf{r}_s - \mathbf{r}_c)/\partial\vartheta = \mathbf{I}_r \partial r(\vartheta)/\partial\vartheta + \mathbf{I}_\vartheta r(\vartheta)$, $\partial(\mathbf{r}_s - \mathbf{r}_c)/\partial\varphi = \mathbf{I}_\varphi r(\vartheta) \sin \vartheta$. Для $\dot{r}(\vartheta)$ получаем

$$\dot{r}(\vartheta) = v_s [1 + (1/r^2(\vartheta)) (\partial r(\vartheta)/\partial\vartheta)^2]^{-1/2} - v_c \cos \vartheta. \quad (1)$$

Раскладывая функцию $r(\vartheta)$ в ряд по полиномам Лежандра

$$r(\vartheta) = R(t) + \sum_{n=2}^{\infty} \delta_n P_n(\cos \vartheta) \quad (2)$$

и подставляя в (1), находим

$$\delta_n = \hat{P}_{P_n} v_s [1 + r'^2(\vartheta)/r^2(\vartheta)]^{-1/2} - v_c \delta_{1,n}. \quad (3)$$

Здесь \hat{P}_{P_n} — оператор проектирования на функцию $P_n(\cos \vartheta)$. Система уравнений (3) позволяет, вообще говоря, определить величины δ_n , т. е. форму включения. Для этого предварительно должна быть решена диффузионная задача при заданной форме включения, с помощью которой определяем v_s . Считаем, что отклонение формы включения от сферической мало, $(\delta_n/R) \ll 1$. В этом случае $(1/r^2)(\partial r(\vartheta)/\partial\vartheta)^2 \ll 1$, и в линейном по δ_n приближении $\dot{r}(\vartheta) = v_s - v_c P_1(\cos \vartheta)$. Пользуясь формулой (3), получаем

$$\delta_n = v_{sn} \quad (n \geq 2), \quad R = v_{s0}. \quad (4)$$

Здесь v_{sn} — коэффициенты разложения величины v_s по $P_n(\cos \vartheta)$.

Исследуя морфологическую устойчивость включений, необходимо в явной форме записать уравнение (4). Для этого нужно v_{sn} выразить через δ_n и поле «внешней» концентрации, т. е. решить соответствующую диффузионную задачу. Сформулируем ее [2]. Пусть $\tilde{c}(r)$ — «внешняя» концентрация атомов выпадающей фазы в точке r . Поле $\tilde{c}(r)$ считаем заданным. Наличие включения искажает поле, и при нахождении потока на включение нужно это искажение учесть. Допустим, что размеры включений много меньше расстояний между ними, а характерный масштаб L существенного изменения «внешнего» поля много больше среднего расстояния между включениями. Поскольку других включений в окрестности данного нет, истинная концентрация $c(r)$ — гармоническая функция (скорости изменения размеров включений малы по сравнению со скоростью диффузионной релаксации в силу малости концентраций). Пусть R_0 — расстояние, равное половине расстояния между центрами включений. Запишем граничное условие для концентрации c

$$c|_{r=R_0} = \tilde{c}(r)|_{r=R_0}. \quad (5)$$

Поскольку $R_0 \ll L$, можно считать $\tilde{c}(r)$ на расстояниях порядка R_0 функцией одной координаты z , т. е. $\tilde{c} \approx \tilde{c}(r \cos \vartheta)$. Выходя из раствора на поверхность включения, атомы новой фазы «адсорбируются» ею. Пусть u — поверхностная концентрация таких атомов. Условие их баланса можно записать так

$$D(\partial c/\partial n)|_s = \gamma(c - \eta u)|_s. \quad (6)$$

Первое слагаемое правой части — количество атомов, перешедших в адсорбированное состояние из раствора за единицу времени; $\gamma = aD/\alpha z$, где a — коэффициент прилипания ($0 \leq a \leq 1$), a — межатомное расстояние, z — координационное число решетки. Второе слагаемое — количество обратных переходов. Здесь $\eta = a^2 z / D \alpha \tau_s$, где τ_s — время пребывания атома в адсорбированном состоянии. Последние могут диф-

функционировать по поверхности включения до тех пор, пока не будут поглощены ступенькой поверхности. Если v/a — вероятность «усвоения» атома поверхностью включения, то в единицу времени усваивается v/a атомов. Число их, вышедших из включения и превратившихся в адатомы, не зависит от поверхностной концентрации и может быть записано в виде v_R . Отметим, что для рассматриваемой системы, состоящей из адатомов, атомов в растворе и включений, полное равновесие возможно только для поверхности постоянной кривизны (сфера, плоскость). Для поверхности произвольной формы можно говорить лишь о частичном равновесии по отношению к поверхности диффузии и о частичном равновесии по отношению к «усвоению» и испарению адатомов включением. Этим частичным равновесиям соответствуют равновесные поверхностные концентрации u_R^* и u_R [4]. u_R определяется выражением

$$u_R = c_R/\eta = (c_\infty/\eta) \exp(\sigma^* K), \quad (7)$$

где c_∞ — равновесная объемная концентрация атомов примеси у плоской поверхности, $\sigma^* = a^3 \sigma / kT$, K — средняя кривизна поверхности в данной точке. Определим u_R^* . Химпотенциал адатома можно записать в виде $\mu = kT \ln u + \psi$. В отличие от поверхности постоянной кривизны в данном случае ψ зависит от кривизны. Раскладывая по малому параметру aK , получаем

$$\mu = kT \ln u + \psi_0 + \lambda \sigma a^3 K. \quad (8)$$

Здесь λ — безразмерная величина порядка единицы. Для ее определения необходимо использовать микроскопическую теорию. Качественная оценка показывает, что $\lambda \approx 1/2 \div 1/3$.

Плотность поверхностного потока $j_s = u (D_s/kT) \nabla \mu$. Подставляя в это выражение (8), получаем $j_s = D_s \nabla (u - u_R^*)$, $u_R^* = (c_R^*/\eta) = (c_\infty/\eta) \exp(-\lambda \sigma^* K)$.

Как видим, нужно рассматривать две равновесные концентрации u_R и u_R^* . Выражения для них отличаются знаком при σ^* в экспоненте. Это приводит к тому, что u_R больше в местах с большей кривизной и меньше там, где она меньше. Для u_R^* ситуация обратная. Адатому легче испариться с острия и осесть в «ямке».

Уравнение диффузии адатомов по поверхности включения записывается как

$$l \partial u / \partial t = l D_s \Delta_s (u - u_R^*) + D (\partial c / \partial n) |_s - v (u - u_R), \quad l = a/\eta.$$

Поскольку скорости роста и перемещения включений считаются малыми, ограничимся рассмотрением стационарного уравнения

$$l D_s \Delta_s (u - u_R^*) + D (\partial c / \partial n) |_s = v (u - u_R). \quad (9)$$

Скорость перемещения поверхности в заданной точке направлена по нормали n и численно равна правой части уравнения (9), т. е. $v_s = nv$ ($u - u_R$). Ищем решение уравнения диффузии вне включения в виде

$$c = \sum_n [a_n \epsilon^n (r/R)^n + b_n (R/r)^{n+1}] P_n (\cos \vartheta), \quad \epsilon = (R/R_0) \ll 1. \quad (10)$$

Если кинетические коэффициенты v и γ формально устремить к бесконечности, придем к равновесному граничному условию $c|_s = c_R \equiv \eta u_R$ для объемной концентрации на границе включения. Соотношение (9) при этом превращается в выражение для величины v_s , если в его левой части v заменить на u_R . В дальнейшем считаем γ и v конечными.

Выражение для кривизны во втором порядке по δ_s таково

$$K = [2 - (\hat{\Delta} r(\vartheta)) / r(\vartheta)] / r(\vartheta). \quad (11)$$

Здесь

$$\hat{\Delta} \equiv (1 / \sin \vartheta) \frac{\partial}{\partial \vartheta} \left(\sin \vartheta \frac{\partial}{\partial \vartheta} \right).$$

В рассматриваемом случае $c_R = c_R^{(0)} + \sum_n c_R^{(n)} P_n(\cos \vartheta)$, $c_R^{(0)} \equiv c_\infty (1 + 2\sigma^*/R)$, $c_R^{(n)} = (n-1)(n+2)(\delta_n/R)(c_\infty \sigma^*/R)$. Оператор Δ_s , входящий в левую часть уравнения (9), имеет вид $\Delta_s \equiv (1/r^2(\vartheta))\hat{\Delta}$, причем он действует не на сфере, а на поверхности, отличающейся от нее. Разложим «внешнюю» концентрацию по $P_n(\cos \vartheta)$ на сфере $r=R_0$

$$\tilde{c}|_{r=R_0} = \sum \tilde{c}_n P_n(\cos \vartheta),$$

где

$$\tilde{c}_n = (n+1/2) \int_{-1}^1 \tilde{c}(R_0 \xi) P_n(\xi) d\xi. \quad (12)$$

Интегрированием по частям выражение для \tilde{c}_n можно представить в более наглядном виде $\tilde{c}_n \simeq R_0^n \sqrt{\pi} (d^n \tilde{c}/dz^n)/2^n \Gamma(n+1/2)$.

2. Линейная теория устойчивости

Границное условие (5) позволяет исключить коэффициенты $a_n = \tilde{c}_n - \varepsilon^{n+1} b_n$. Выражаем a через $c|_s$ и $(\partial c/\partial n)$, по формуле (6) и подставляем полученное выражение в уравнение (9), которое приобретает следующий вид:

$$-\lambda [c - c_R - (D/\gamma)(\partial c/\partial n)] = l D_s \Delta_s c + D (\partial c/\partial n) - (l a D_s D/\gamma) \Delta_s (\partial c/\partial n) - l D_s \Delta_s c_R^*. \quad (13)$$

Подставляя разложение (10), определяем коэффициенты b_n . Получаются довольно громоздкие выражения, приводить которые здесь нет возможности. После этого вычисляем v_s , равное левой (или правой) части уравнения (13). Отметим, что при этом \tilde{c}_n входят в формулы только в виде комбинаций $\varepsilon^n \tilde{c}_n$, не содержащей параметра R_0 , фигурирующего в определении (12) величины \tilde{c}_n . При однородном на бесконечности распределении концентрации уравнение (4) приобретает вид

$$\delta_n/\delta_s = D \Delta (n-1) R^{-2} A_{n-1}^{-1} \{1 + (R_k/R)[1 + (1 + 2BR_k(0)/R)(1/2) \times \\ \times (n+1)(n+2)(1+(1+\lambda)(R_k(0)/R)(l D_s n / R_k(0) D)(1+D(n+1)/\gamma R))]\}. \quad (14)$$

Здесь $\Delta = c_0 - c_\infty$, $B = (D/2R_k(0))(1/\gamma + \eta/\nu)$, $R_k(0) = 2\pi a^3 c_\infty / \Delta kT$. Значение R , при котором правая часть уравнения (14) обращается в нуль, — это критический радиус, соответствующий моде n . Обозначим его через $R_k(n)$. При $R > R_k(n)$ эта мода растет (неустойчивость), а при $R < R_k(n)$ уменьшается (устойчивость). Уравнение для $R_k(n)$ имеет лишь один положительный корень. Учет конечной величины коэффициентов ν и γ ведет к возрастанию $R_k(n)$.

Уравнение для $R_k(n)$ в общем случае оказывается четвертой степени. При $\nu \rightarrow \infty$ и $\gamma \rightarrow \infty$ его решение

$$2R_k(n)/R_k(0) = 1 + 2^{-1}(n+1)(n+2) + [(1 + 2^{-1}(n+1)(n+2))^2 + \\ + 2(1+\lambda)l D_s n (n+1)(n+2)/DR_k(0)]^{1/2}. \quad (15)$$

Уравнение (14) для δ_n приобретает вид

$$\delta_n/\delta_s = R^{-2} \Delta (n-1) [D(1 - R_k R^{-1}(1 + 2^{-1}(n+1)(n+2))) - \\ - (1+\lambda)l D_s R_k^2 n (n+1)(n+2)/2R_k R^2].$$

Из формул видно, что поверхностная диффузия существенным образом подавляет морфологическую неустойчивость включений, если пересыщенность достаточно высока, поскольку D_s обычно на несколько порядков выше D .

Исследуя устойчивость формы включения, нужно найти зависимость от времени безразмерных параметров $\delta_s/R(t)$. Исходя из формулы (14), получаем

$$\frac{d}{dt} (\delta_n/R) = (\delta_n/R) (D/R^2) \Delta (1 + 2BR_k/R)^{-1} \{ A_n^{-1} (n-1) [1 - (R_k/R) - (R_k/R) (1 + 2BR_k/R) \cdot 2^{-1} (n+1) (n+2) (1 + (1+\lambda) lD_s/RD) \times \times n (1 + D(n+1)/\gamma R)] - (1 - R_k/R) \}. \quad (16)$$

При ν и $\gamma \rightarrow \infty$ $A_n=1$, $B=0$ и из (16) находим

$$\begin{aligned} \frac{d}{dt} (\delta_n/R) &= (\delta_n/R) D \Delta R^{-2} \{ (n-2) (1 - R_k/R) - (R_k/R) 2^{-1} (n^2 - 1) \times \\ &\quad \times (n+2) (1 + (1+\lambda) lD_s/RD) \}. \end{aligned} \quad (17)$$

При $n=2$

$$\frac{d}{dt} \left(\frac{\delta_2}{R} \right) = -6 \frac{\delta_2 \Delta}{R^3} \frac{R_k}{R} \left(D + 2(1+\lambda) \frac{lD_s}{R} \right).$$

Видим, что форма включения по отношению к возмущению второй моды устойчива при любых значениях R , в то время как само δ_2 начинает возрастать уже при $R > R_k$ (2). Для мод с $n \geq 3$ существуют критические размеры включений $R_k^*(n)$, при превышении которых отношение δ_n/R начинает возрастать, т. е. форма, соответствующая этой моде, становится неустойчивой. Отметим, что для всех $n R_k^*(n) > R_k(n)$. Так, например, в случае $\nu \rightarrow \infty$, $\gamma \rightarrow \infty$ и $lD_s=0$ $R_k^*(3)=21R_k$, $R_k(3)=11R_k$. Из формул (15) и (17) следует, что для оценки роли поверхностной и объемной диффузии нужно знать значение параметра (lD_s/DR_k) . Выражая его через непосредственно измеряемые величины, получаем $lD_s/DR_k=D_s \tau_s \alpha \Delta k T / a^2 \bar{z} c_\infty 2a^2 \sigma$. Если этот параметр много больше единицы, то основную роль играет поверхностная диффузия; если меньше, — объемная.

3. Нелинейный анализ

Случай $\tilde{c}_n \neq 0$ ($n \geq 1$) проанализирован в линейном приближении в работе [2]. Такое приближение справедливо, когда основную роль играет поверхностное напряжение и поверхностная диффузия. С ростом размера включения их роль ослабевает, что в случае $\tilde{c}_n \neq 0$ приводит к его существенной деформации, поэтому необходим нелинейный анализ. Считаем, что граничная кинетика несущественна, $\nu \rightarrow \infty$, $\gamma \rightarrow \infty$, и ограничимся учетом членов второго порядка по δ_n . Наибольшим из них является δ_2^2 . Учитывая эти слагаемые в соотношениях (11) и (13), получаем следующее уравнение:

$$\begin{aligned} (d/dt) (\delta_n/R) &= (D/R) [(2n+1) \tilde{c}_n^{* \varepsilon^n} + (n-1) \sum_{\substack{m, l \\ m \neq 0}} \varepsilon^m \tilde{c}_m (2m+1) \begin{Bmatrix} 0 & 0 & 0 \\ l & m & n \end{Bmatrix} (\delta_l/R) + \\ &\quad + (n-2) \tilde{c}_0^* \delta_n/R - (n^2 - 1) (n+2) (c_R^{(0)} \sigma^*/R) \delta_n/R] + \\ &\quad + (D/R) (\delta_2/R)^2 \left\{ 2(23-n) \begin{Bmatrix} 0 & 0 & 0 \\ 2 & 2 & n \end{Bmatrix} (c_R^{(0)} \sigma^*/R) - \tilde{c}_0^* (8-n) \begin{Bmatrix} 0 & 0 & 0 \\ 2 & 2 & n \end{Bmatrix} - \right. \\ &\quad \left. - 4 \begin{Bmatrix} 1 & 1 & 0 \\ 2 & 2 & n \end{Bmatrix} (c_R^{(0)} \sigma^*/R) + (1+\lambda) [10n(n+1) + 48] \begin{Bmatrix} 0 & 0 & 0 \\ 2 & 2 & n \end{Bmatrix} (lD_s/DR) (c_R^{(0)} \sigma^*/R) \right\}. \end{aligned} \quad (18)$$

Здесь $\begin{Bmatrix} 0 & 0 & 0 \\ l & m & n \end{Bmatrix}$, $\begin{Bmatrix} 1 & 1 & 0 \\ l & m & n \end{Bmatrix}$ — коэффициенты разложений $P_l P_m$ и $P'_l P'_m$ по P_n соответственно; $\tilde{c}_n^* \equiv \tilde{c}_n$ для $n \geq 1$ и $\tilde{c}_0^* = \tilde{c}_0 - c_R^{(0)}$. Полученное уравнение имеет смысл для первых пяти мод, поскольку в уравнении для δ_6/R уже необходимо учитывать δ_2^3 и т. д. Приведем уравнения для мод с $n=0, 2, 3, 4$ в случае $lD_s=0$

$$\dot{\rho} = \rho^{-1} [1 - 1/\rho - (\zeta_2^2/5) (1 - 12/\rho)] (1 + 12\zeta_2^2/5)^{-1}, \quad (19)$$

$$\zeta_2 = 5\tilde{c}_2 - 6\zeta_2 \rho^{-3} - (12/7) \zeta_2^2 \rho^{-2} [1 - 7/2\rho] + (9/7) \beta_1 \zeta_2 \rho^{-1} + (10/7) \beta_2 \zeta_2, \quad (20)$$

$$\zeta_3 = 7\beta_3 \rho - \zeta_3 \rho^{-2} (21/\rho - 1) + (18/5) \beta_1 \zeta_2 \rho^{-1} + (8/3) \beta_1 \zeta_4 \rho^{-1}, \quad (21)$$

$$\zeta_4 = 9\beta_4 \rho^2 + \beta_2 \zeta_2 (54/7) + (36/7) \beta_1 \zeta_3 \rho^{-1} - \zeta_4 \rho^{-2} (47/\rho - 2) + (18/7) \zeta_2^2 \rho^{-2} (1 + 22/5\rho), \quad (22)$$

$$\zeta_n = \delta_n/R, \quad \rho = R/R_k, \quad \dot{\zeta}_n = d\zeta_n/d\tau,$$

где $\tau = D\Delta t/R_k^2$, $\beta_n = \tilde{c}_n e^n / (\rho^n \Delta)$ (из определения \tilde{c}_n (12) видно, что β_n не зависят от ρ). В уравнении (21) опущено слагаемое, пропорциональное $\beta_1 r_2^2$, так как оно более высокого порядка малости, чем нелинейные члены в уравнениях (20) и (22). В уравнении (20) второе слагаемое правой части убывает с ростом ρ как ρ^{-3} , а третье (содержащее ζ_2^2) — ρ^2 , поэтому с ростом ρ нелинейное слагаемое становится существенным даже при малых ζ_2 . В уравнениях для более высоких мод это не так: линейные слагаемые пропорциональны ρ^{-2} . Уравнение для второй моды в этом смысле является исключением, поскольку в нем линейное по ζ_2 слагаемое порождено поверхностным напряжением, роль которого ослабевает с ростом ρ .

Отметим, что при $\beta_n \neq 0$ квазистационарная форма включения не является сферической, кроме того, происходит генерация высших мод низшими. Учет нелинейных слагаемых приводит к генерации четвертой моды второй даже при однородном распределении «внешней» концентрации ($\beta_n = 0$ для $n \neq 0$).

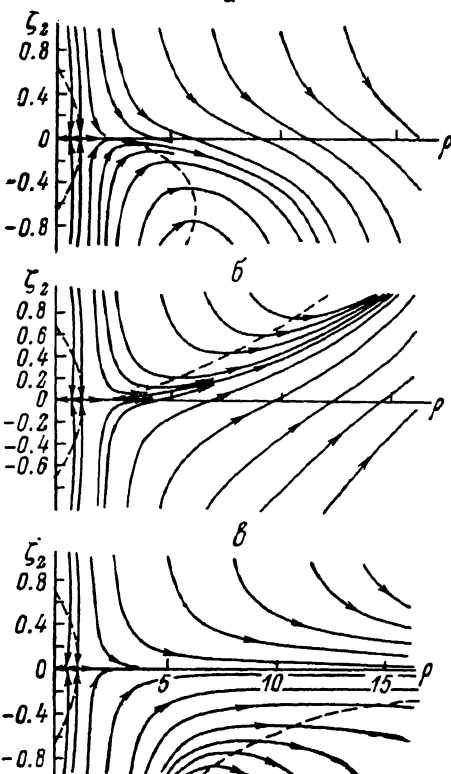
Наличие нелинейного слагаемого в уравнении (20) может привести к неустойчивости второй моды. Чтобы в этом убедиться, проведем качественный анализ системы уравнений (19) и (20) для случая $\beta_1 = \beta_3 = \beta_4 = 0$, $\beta_2 \neq 0$. Уравнение (20) представим в виде

$$\zeta_2 = -\rho^{-2} (2 - 7/\rho) (\zeta_2 - \zeta_2^-) (\zeta_2 - \zeta_2^+) (6/7). \quad (23)$$

где

$$\zeta_2^\pm = (\rho - 7/2)^{-1} \left\{ -1 \pm [1 + \beta_2 \rho^3 (20/21) (\rho - 7/2)]^{1/2} \right\} (7/4) \quad (24)$$

Фазовый портрет системы уравнений (19), (20) для $\beta_2 = -2 \cdot 10^{-3}$ (a), $2 \cdot 10^{-3}$ (b), 0 (c).



— изоклина уравнения (20), соответствующая $\zeta_2 = 0$. Пусть $\beta_2 < 0$. В этом случае ветви изоклины ζ_2^- и ζ_2^+ на плоскости (ρ, ζ_2) плавно смыкаются в точке $\rho = \rho_{\max}$, определяемой нулем подкоренного выражения в формуле (24). Оценки показывают, что $|\beta_2| \ll 1$, поэтому $\rho_{\max} \approx \sqrt{(20 |\beta_2| / 21)^{-1}}$, $\zeta_{\max} = -(7/4)(20 |\beta_2| / 21)^{1/4}$. На рисунке, a построен фазовый портрет системы (19), (20) для случая $\beta_2 = -2 \cdot 10^{-3}$. Штриховыми линиями изображены изоклина ζ_2^\pm и изоклина $\zeta_2^2 = 5(\rho - 1)/(\rho - 12)$, соответствующая $\dot{\rho} = 0$. Видны сепаратрисы, разделяющие фазовую плоскость (ρ, ζ_2) , исходящие из неподвижной точки с координатами $\rho \approx 1 - (55/9)\beta_2^2$, $\zeta_2 \approx 5/(3\beta_2)$. Вертикальные сепаратрисы разграничивают область, где линии тока приходят в начало координат (устойчивый узел), — область слева от сепаратрисы — и область неограниченного роста ρ справа от них. Эти сепаратрисы являются геометрическим местом точек, для которых ρ — критический радиус, соответствующий отличному от нуля значению ζ_2 . Как видим, зависимость критического радиуса от ζ_2 слабая. Наклонная сепаратриса разграничивает области монотонного и немонотонного поведения линий тока. Выше ее линии тока идут сверху вниз монотонно, ниже — проходят через максимум в точках пересечения с изоклиной ζ_2^\pm . Можно сказать, что при $\beta_2 < 0$ включение стремится сплющиться. Анализ уравнений (21) и (22) показывает, что учет третьей

и четвертой мод лишь усиливает эту тенденцию. Учет кубической нелинейности не меняет заметным образом поведение включения.

Рассмотрим теперь случай $\beta_2 > 0$, $\beta_1 = \beta_3 = \beta_4 = 0$. Минимум функции, стоящей под знаком корня в (24), достигается при $\rho = \rho_{\min} = 21/8$; значение подкоренного выражения при этом равно $1 - \beta_2 (7/8)^3 45/2$. Пусть $\beta_2 < (8/7)^3 \cdot 2/45$, тогда оно положительно при всех ρ . Функция, представляющая собой ветвь изоклины $\zeta_2^+ > 0$, и при $\rho \gg 1$ имеет асимптоту

$$\zeta_2^+ \simeq (1/2) \rho (35\beta_2/3)^{1/2}. \quad (25)$$

Ветвь ζ_2^- при $0 < \rho < 7/2$ больше единицы, следовательно, она нефизична, так как в нашем приближении нельзя рассматривать значения $|\zeta_2| \geq 1$. При $\rho > 7/2$ $\zeta_2^- < 0$ и при $\rho \gg 1$ имеет асимптоту $\zeta_2^- \simeq -(1/2)\rho(35\beta_2/3)^{1/2}$. При $\rho \rightarrow 7/2$ $\zeta_2^- \rightarrow \infty$, следовательно, ζ_2^- имеет максимум. Соответствующая координата $\rho = \rho_0$ определяется уравнением

$$1 + [1 + (20/21)\beta_2\rho_0^3(\rho_0 - 7/2)]^{1/2} = 5\beta_2\rho_0^2[(4/21)\rho_0^2 - (5/3)\rho_0 + 7/2]. \quad (26)$$

Для $\beta_2 \ll 1$ $\rho_0 \simeq (20\beta_2/63)^{-1/4}$, $\zeta_2^-(\rho_0) \simeq -(21/4)(20\beta_2/63)^{1/4}$. Фазовый портрет для случая $\beta_2 = 2 \cdot 10^{-3}$ изображен на рисунке, б. Отметим, что при больших ρ и $\rho \leq 1$ фазовый портрет для $\beta_2 > 0$ в целом аналогичен портрету для $\beta_2 < 0$ (следует только заменить ζ_2 на $-\zeta_2$), однако в отличие от последнего линии тока в верхней полуплоскости «прижимаются» к сепаратрисе, которая проходит ниже асимптоты (25).

Если $\beta_2 > (8/7)^3 2/45$, то подкоренное выражение (26) оказывается отрицательным в интервале $\rho_1 < \rho < \rho_2$, где ρ_1 , ρ_2 — корни уравнения $21/(20\beta_2) = \rho^3(7/2 - \rho)$. Они оба находятся внутри интервала $(0, 7/2)$. В точках $\rho = \rho_1$ и $\rho = \rho_2$ обе ветви кривой ζ_2^\pm плавно смыкаются, имея вертикальную касательную. На глобальных свойствах линий тока эти особенности не сказываются, однако могут привести к их локальной немонотонности в окрестностях точек ρ_1 и ρ_2 . Отметим, что эта ситуация соответствует весьма большим значениям β_2 , при которых исходные предположения могут оказаться на грани применимости.

При $\beta_2 = 0$ ветвь изоклины ζ_2^+ совпадает с осью абсцисс и является одновременно сепаратрисой. ζ_2^- имеет при $\rho \geq 7/2$ две асимптоты: $\rho = 7/2$ и $\rho = 0$. Точки выше оси абсцисс находятся в области устойчивости ($\zeta_2 < 0$ при $\rho > 1$), ниже — в области неустойчивости. Если $\zeta_2 < 0$ и точка находится левее ветви кривой ζ_2^- , то линия тока, проходящая через нее сначала, приближается к оси абсцисс, но после пересечения ветви изоклины ζ_2^- уходит вниз. Соответствующий фазовый портрет изображен на рисунке, в.

Анализ уравнений (20)–(22) в случае неустойчивости третьей и четвертой мод ($\rho > 23.5$) и $\beta_1 \neq 0$, $\beta_2 = \beta_3 = \beta_4 = 0$ показывает, что заметная деформация наступает при очень больших размерах включения. Так, при $\beta_1 = 10^{-3}$ и начальных значениях $\zeta_3 = -0.1$, $\zeta_2 = \zeta_4 = 0$ значения $\zeta_2 = -0.063$, $\zeta_3 = -0.53$, $\zeta_4 = -0.70$ достигаются при $\rho = 200$. Фактически это означает, что размер включения в этом случае сравним с характерной длиной неоднородности «внешнего» поля концентрации.

Коротко сформулируем основные результаты. С учетом граничной кинетики использовано уравнение диффузии адатомов по поверхности произвольной кривизны; предложен алгоритм нахождения закона изменения формы растущего включения, с помощью которого построена линейная теория морфологической устойчивости включений в изотропной матрице. Для однородного распределения «внешней» концентрации учет граничной кинетики и поверхностной диффузии приводит к большей стабильности сферической формы включения. Для неоднородного случая квазиравновесная форма включения отличается от сферической, отклонение от сферичности пропорционально высшим производным поля «внешней» концентрации и растет с ростом ρ .

Исследована нелинейная стадия эволюции формы растущего включения для первых четырех мод. Показано, что вторая мода, устойчивая в линей-

ном приближении, становится неустойчивой. Если вторая производная «внешнего» поля отрицательна ($\beta_2 < 0$), то включение, имеющее в начальный момент сферическую форму, со временем сплющивается, образуя эллипсоид вращения вокруг малой оси. Учет третьей и четвертой мод усиливает эту тенденцию. При однородном поле «внешней» концентрации сферическая форма включения находится в неустойчивом равновесии по отношению к сжатию и устойчивом по отношению к растяжению. При $\beta_2 > 0$ поведение включения такое же, как и в линейной теории: оно вытягивается, образуя эллипсоид вращения вокруг большой оси.

Л и т е р а т у р а

- [1] Mullins W. W., Sekerka R. F. // J. Appl. Phys. 1963. V. 34. N 2. P. 323—329.
- [2] Слезов В. В., Танатаров Л. В. // ФММ. 1987. Т. 64. № 4. С. 692—703.
- [3] Гегузин Я. Е., Кривоглаа М. А. Движение макроскопических включений в твердых телах. М., 1971. 343 с.
- [4] Дубинко В. И., Слезов В. В. // ФММ. 1982. Т. 53. № 3. С. 456—464.

Харьковский
физико-технический институт АН УССР
Харьков

Поступило в Редакцию
5 сентября 1988 г.